

株式会社日本水道コンサルタント 正員
 堀武
 (大門) 萩原良巳
 ○高橋邦夫

1.はじめに

最近の下水道計画においては計画プロセスの高度(次)化に伴ない、より一層の基礎的研究の積み上げが要請されるようになつて来た。このことは先に発表した「下水道整備計画のためのシステム論的研究」、およびこれに關連するレポートの中で特に強調したものである。上記をふまえ、わざわざは特に計画入力に注目し、これらの基礎的研究を行なつたところ、本稿はその一環である。

自然的カット率は、下水道計画における主要な計画入力の一つであり、汚濁指標による地域の総合特性値である。これに關し、綿密な調査をふまえた実験的研究をするわけであるが、本稿では多变量解析法により、自然的カット率、あるいは汚濁構造の構造分析を試みることを目的とする。

2.自然的カット率と構成因子

まず自然的カット率をつぎのように定義する。

$$f_i = 1 - F_{i0} / F_i$$

(1)

ここに f_i ; i 地域の自然的カット率

F_{i0} ; i 地域を代表する水質観測点における流出負荷量(実測値)

F_i ; i 地域の発生負荷量(推定値)

である。すなはち、自然的カット率は、(1-流達率)と同値である。一般に F_i 値について適正な値を得ることは極めて困難である。汚濁負荷の流出機構、および流達機構については不明な点が多く、また F_i の定義上の問題として F_{i0} 、 F_i の次元の相違も指摘される。しかしあらはひとまずおき、1.で述べたとく本稿では自然的カット率、もしくは汚濁構造の構造分析をすることを目的としており、表-1に自然的カット率を構成する諸因子を列挙する。ただし、これら諸因子はデータ入手の難易度を考慮したものであり、気象特性、もしくは風土性など自然的因素の次第が指摘されるよう。尚、数値解析法としてまず主成分分析法により、地域の総合特性について知見を得、した後、重回帰分析により、自然的カット率の構造分析を行なう。

表-1. 因子リスト表

NO	項目	単位	NO	項目	単位
1.	流域人口	人	8.	宅地面積	ha
2.	団地人口	〃	9.	水田面積	〃
3.	浄化槽人口	〃	10.	畑面積	〃
4.	農村人口	〃	11.	山林面積	〃
5.	総人口	〃	12.	総面積	〃
6.	工場従業員	〃	13.	人口密度	人/ha
7.	家畜頭数	頭	14.	流量	m³/日

3. 解析例と考察

本節では演算を試みるために、対象地域についてその概要を紹介し、データを提示する。した後、主成分分析、重回帰分析を適用した解析例を示す。

3.1 対象地域、なまびにデータ

本事例で対象とする地域は「A流域総合下水道整備計画」対象地域である。水系割り立地図各地域は、幸いなことにほぼ独立に存在する。すなはち、諸水系はほぼ独立に主要河川、もしくは湖に注ぎ込み地形上、水系間の競合はほとんど無いものと考えられる。用ひるデータは表-2にその一部を示す。尚ここでわざわざの初期の目的である自然的カット率につれてはひとまずこゝとおき、流達負荷量(実測値)に関する構

表-2 データ統括表

項目	流域面積	流域人口	団地人口	浄化槽人口	農村人口	総人口
1.	480.6	5,655	0	31	2,362	8,9
2.	1,070.3	39,575	0	78	57,873	
3.	517.0	8,819	6,000	64	7,9	
4.						

造分析を行なう。すなはち、流達負荷量について季節ごとのデータが得られており、年平均値ももつて二つの代表値としよ。

3.2 主成分分析による解析

本手法を適用するにあたり、表-2に掲げたデータの変換を行なう。すなはち、流達負荷量に対する14の因子をもとより、流達負荷量で除した後のデータを本法に適用する。固有値、累積固有値、および因子負荷量 $r(x_k, z_i)$ ($i=1, 2, \dots, 14$, $k=1, 2, 3$) を表-3、4に示す。表-3に示すごとく、第3主成分までに情報量の 83.3% が占有されていき、したがってここに抽出された3つの主成分について因子負荷量とともに積極的解釈を施せば、つきの如くなる。

(i) 第1主成分 大きさを示す総合特性因子

(ii) 第2 . 人口の密集度を示す総合特性因子

(iii) 第3 . 農業形態の分類を示す総合特性因子

すなはち第1、第2主成分を用いた因子スコアを描いたものが図-1である。こより z_1 , z_2 は無相関であることが明らかである。また、半径 1.0 の円内の左側には、比較的掌原（農山林地帯）の地域群が該当し、市街化の格別に発達している地域もしくは広大な農村地域は、これらとかけ離れて存在し、地域差による明確な分類がなされることになる。このことは同時に、 z_3 の重回帰モデル適用への可能性を示している。一方、寄与率 μ_i ($i=1, 2, \dots, 14$) は、第3主成分までとすれば z_{14} を除き 80% 以上であり、経験的に、これら諸因子 ($z_1 \sim z_{14}$) はもとより独立性をもつものと考えられる。

3.3 重回帰分析による解析

本手法を適用するにあたり、サンプル数は諸因子数に比べて少くである。以下がってここでは n (サンプル数、本例では 19 個) の小さな場合について教えるところに従がい、自由度調整済みの重相関係数を变数選択の指標とし、変数選択重回帰分析を行ない、その結果を以下に示す。

$$\text{重回帰式 } Y = -0.54 z_{12} (\text{山林面積}) + 0.174 z_{13} (\text{総面積}) + 273.35 z_{14} (\text{流量}) \quad (2)$$

$$\text{標準化した重回帰式 } Y' = -3.33 z_{12}' + 3.33 z_{13}' + 0.89 z_{14}'$$

このとき F -値は 190.9 であり、1% の水準で高度に有意である。すなはち、自由度調整済みの重相関係数 R^2 は、0.985 である。一方、各偏回帰係数 B_i ($i=12, 13, 14$) の F -値、なまびに大-値は表-5に示すとおりであり、各々、1% の水準で有意である。

4. おわりに

以上を總括すれば、(2)式より明らかに農山林地帯である地域特性がここに表出しているものと考えられ、3.2における因子スコア散布図における分類も、その裏付けとして有効な情報を提供してある。このことはとりも直らず、統計解析における手法による解析は片手落ちであると同時に、複数の手法による有効性を示してある。また、データの量、なまびにとの精度等については大いに問題点が有り、解析例の積上げが重要である。尚、データ収集に際し、当社下水部、山口弘、官西宏光、永井彰各氏に多大の協力を得た。記して謝意を表します。

著者高橋;

参考文献> ①堤大門、中村；下水道整備計画のためのシステム的研究 I、第9回衛生工学研究討論会 1973.1, ②下水道処理区分割と面的整備計画に関する考察
第28回年次学術講演会、本学会昭48.10, ③堤恭東、高橋、河川汚濁削減のための面的下水道計画に関する考察 ④同上, ⑤堤恭東、高橋；下水道整備計画のための
計画人口決定に関する一つの基礎的研究、下水道学会誌 VOL.11 NO.120, 52 なる。住友、松尾；メソッドによる汚濁解析と本質的質の流れ平面上の模式化；制御衛生工学研究討論会
1973.1

表-3 固有値累積固有値

表-4 $r(x_k, z_i)$ 表

固有値	累積固有値	z_1	z_2	z_3
1 6.272	0.448	z_1	0.775	-0.587
2 4.219	0.749	z_2	0.025	0.318
3 1.165	0.833	z_3	0.767	-0.613
4 0.954	0.901	z_4	0.572	0.118
5 0.621	0.945	z_5	0.840	-0.517
6 0.362	0.971	z_6	0.643	-0.652
7 0.214	0.986	z_7	0.156	0.433
8 0.094	0.993	z_8	0.885	0.180
9 0.053	0.997	z_9	0.785	0.508
10 0.030	0.999	z_{10}	0.753	0.561
11 0.010	1.000	z_{11}	0.516	0.757
12 0.004	1.000	z_{12}	0.828	0.478
13 0.002	1.000	z_{13}	0.538	-0.646
14 0.000	1.000	z_{14}	0.001	0.825

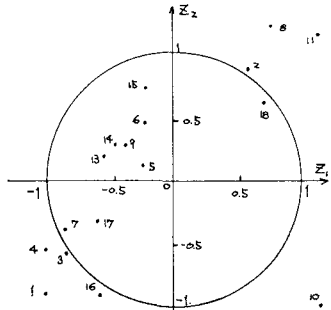


図-1 因子スコア散布図

表-5. B_i の下、大-値

i	下値	大-値
12	38.0	-6.16
13	41.2	6.42
14	46.9	6.85